

CPの破れと新物理学模型の展望

進藤哲央 (DESY[†])

2009年3月28日

立教大学、立教池袋中学・高校

小林誠氏・益川敏英氏ノーベル物理学賞受賞記念シンポジウム

「CPの破れとクォーク世代数予言の物理とその発展」

[†]4月1日より工学院大学所属

小林益川理論と2つの予言

- 質量とフレイバー固有状態のずれに含まれるCP位相がK中間子系でのCPの破れの起源

$$\mathcal{L} = W^\mu \bar{u}_i \gamma_\mu \frac{1 - \gamma_5}{2} V_{ij} d_j$$

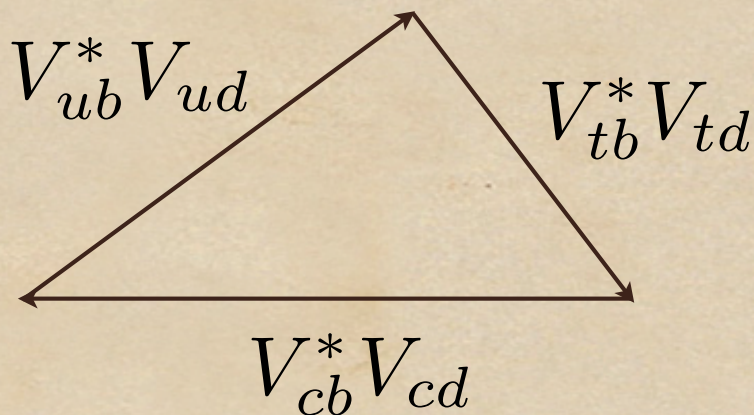
- クォークは3世代以上必要
- クォークが3世代のみ存在すると仮定
- クォークの質量が決まった場合、フレイバーに関係する自由度は、3つの回転角と1つの位相
- K中間子系やB中間子系に現れる様々なCPの破れの起源は、1つのCP位相と関係がつく

ユニタリティーのチェック

CKM行列Vはユニタリー行列

$$V_{ub}^* V_{ud} + V_{cb}^* V_{cd} + V_{tb}^* V_{td} = 0$$

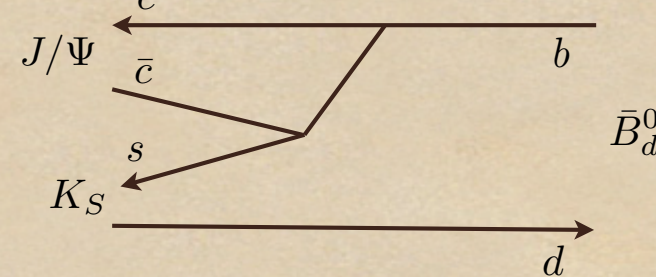
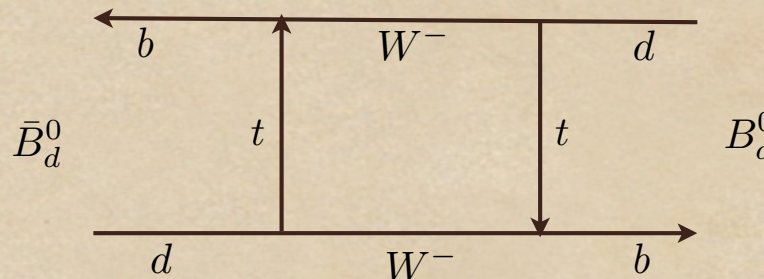
この条件式は複素平面上に三角形を描く



これを実験でチェックするためには、角度や
辺の長さの情報をいかに引き出すかが重要

標準模型の場合

標準模型を仮定して、辺の長さや角度の情報を得る



$$B\text{-}B \text{混合} \rightarrow \Delta m_d$$

$$B_s\text{-}B_s \text{混合} \rightarrow \Delta m_d / \Delta m_s$$

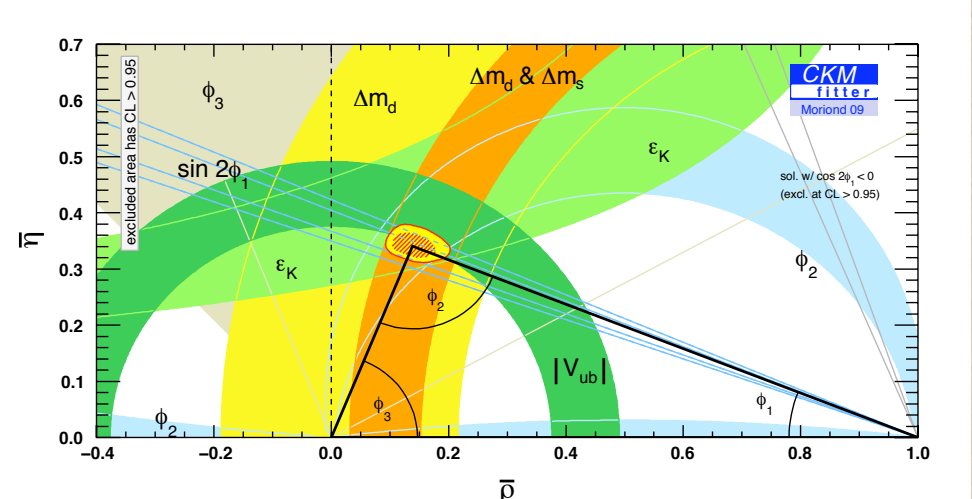
$$K\text{-}K \text{混合} \rightarrow \epsilon_K$$

$$B \rightarrow J/\Psi K_S \rightarrow \varphi_1$$

$$B \rightarrow \pi\pi, \rho\rho \rightarrow \varphi_2$$

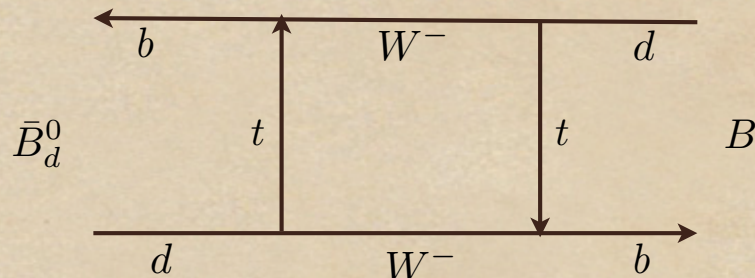
$$B \rightarrow D^{(*)} K \rightarrow \varphi_3$$

$$\text{Semileptonic} \rightarrow |V_{ub}/V_{cb}|$$



標準模型の場合

標準模型を仮定して、辺の長さや角度の情報を得る



B - B 混合 $\rightarrow \Delta m_d$

B_s - B_s 混合 $\rightarrow \Delta m_d / \Delta m_s$

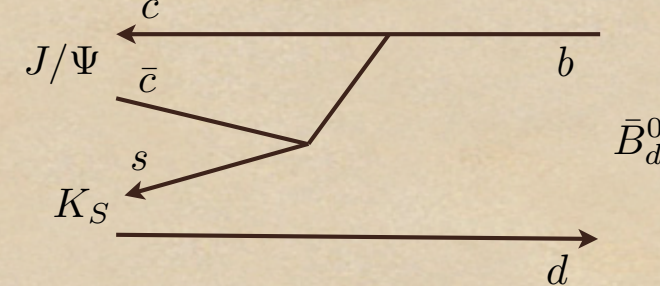
K - K 混合 $\rightarrow \epsilon_K$

$B \rightarrow J/\Psi K_S \rightarrow \varphi_1$

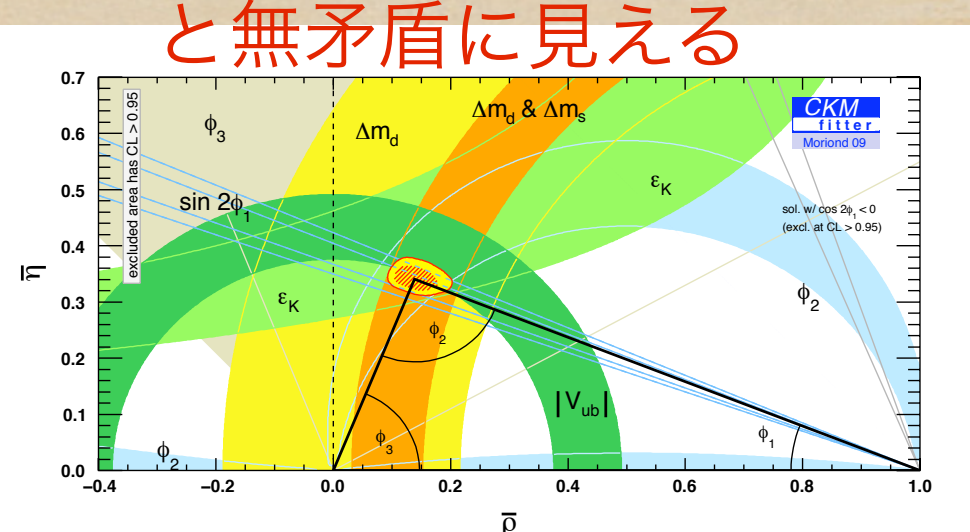
$B \rightarrow \pi\pi, \rho\rho \rightarrow \varphi_2$

$B \rightarrow D^{(*)} K \rightarrow \varphi_3$

Semileptonic $\rightarrow |V_{ub}/V_{cb}|$



現在の実験結果は標準模型
と無矛盾に見える



標準模型を超える

- 標準模型は、非常に多くの実験事実を矛盾なく説明できる(低エネルギー有効理論として確立)
- しかし...
 - Fine Tuning問題(ゲージ階層性問題)
 - 大統一理論への期待
 - ニュートリノ質量の存在
 - 宇宙論の示唆
 - ダークマター
 - バリオン数生成 → 新たなCPの破れ

標準模型を超える物理の存在が期待される

標準模型を超える

標準模型を超える理論



新しいフレイバーと

CPの物理

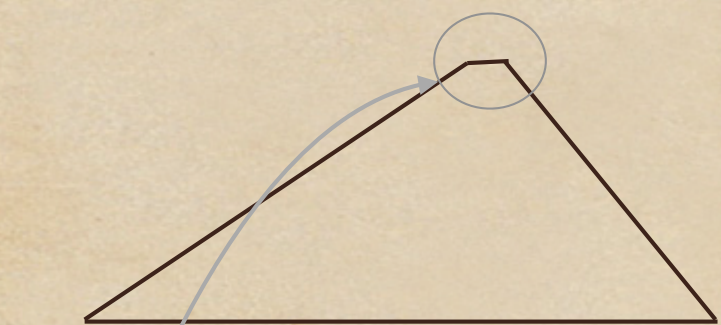


ユニタリティー三角形に影響

ユニタリティ三角形への影響

2つの可能性

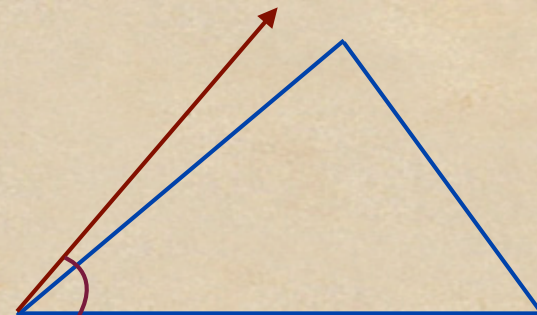
多角形化



$$V_{ub}^* V_{ud} + V_{cb}^* V_{cd} + V_{tb}^* V_{td} + V_{Tb}^* V_{Td} = 0$$

精度を上げていくと
多角形が見える

複数の観測に矛盾



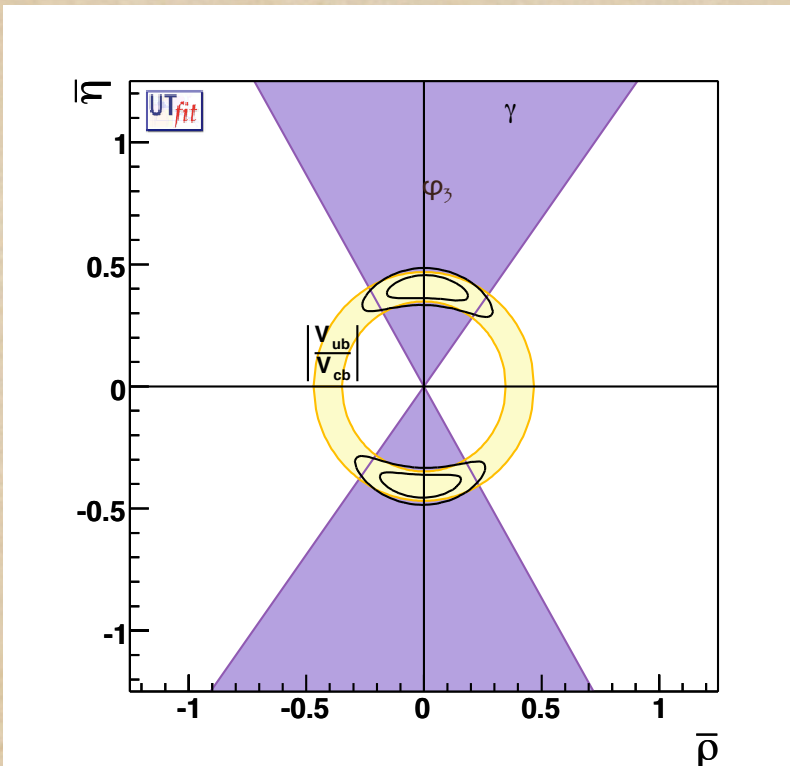
小林益川模型以外の起源
色々な観測量を比較す
ることでズレが見える

CKM行列@Tree Level

標準模型を超える物理の影響はループを通してやってくる

$|V_{ub}|, \varphi_3$
+ B_d 混合とそのCP
+ B_s 混合とそのCP
 $+ \varepsilon_K$

標準模型を超える物理



φ_3 のように、標準模型のTree Levelで
決まる量を精密に測ることが重要

現在ズレが見えている可能性
● $\sin 2\phi_1$ の標準模型と実験で測られたものとのズレ。

- $B_K, \varepsilon_K, \xi_s, \Delta m_s / \Delta m_d, |V_{cb}|$ (from lattice) $\rightarrow 0.87 \pm 0.09$
- $B_K, \varepsilon_K, \xi_s, \Delta m_s / \Delta m_d, |V_{ub}| / |V_{cb}|, |V_{cb}| \rightarrow 0.78 \pm 0.04$
- $B \rightarrow J/\Psi K_s \rightarrow 0.681 \pm 0.025$
- Clean Penguin modes $\rightarrow 0.58 \pm 0.06$

● $K^+\pi^-$ と $K^+\pi^0$ モードの Direct CP

- $ACP(K^+\pi^-) - ACP(K^+\pi^0) = 14.4 \pm 2.9\%$
- $B_s \rightarrow J/\Psi \Phi \dots 2.2\sigma$ のずれ (CDF, D0)

現在ズレが見えている可能性
● $\sin 2\phi_1$ の標準模型と実験で測られたものとのズレ。

- $B_K, \varepsilon_K, \xi_s, \Delta m_s / \Delta m_d, |V_{cb}|$ (from lattice) $\rightarrow 0.87 \pm 0.09$
- $B_K, \varepsilon_K, \xi_s, \Delta m_s / \Delta m_d, |V_{ub}| / |V_{cb}|, |V_{cb}|$ $\rightarrow 0.78 \pm 0.04$
- $B \rightarrow J/\Psi K_s \rightarrow 0.681 \pm 0.025$
- Clean Penguin modes $\rightarrow 0.58 \pm 0.06$

● $K^+\pi^-$ と $K^+\pi^0$ モードの Direct CP

- $ACP(K^+\pi^-) - ACP(K^+\pi^0) = 14.4 \pm 2.9\%$
- $B_s \rightarrow J/\Psi \Phi \dots 2.2\sigma$ のずれ (CDF, DO)

決め手となるほどのズレは残念ながらない

現在ズレが見えている可能性
● $\sin 2\phi_1$ の標準模型と実験で測られたものとのズレ。

- $B_K, \varepsilon_K, \xi_s, \Delta m_s / \Delta m_d, |V_{cb}|$ (from lattice) $\rightarrow 0.87 \pm 0.09$
- $B_K, \varepsilon_K, \xi_s, \Delta m_s / \Delta m_d, |V_{ub}| / |V_{cb}|, |V_{cb}| \rightarrow 0.78 \pm 0.04$
- $B \rightarrow J/\Psi K_s \rightarrow 0.681 \pm 0.025$
- Clean Penguin modes $\rightarrow 0.58 \pm 0.06$

● $K^+\pi^-$ と $K^+\pi^0$ モードの Direct CP

- $ACP(K^+\pi^-) - ACP(K^+\pi^0) = 14.4 \pm 2.9\%$
- $B_s \rightarrow J/\Psi \Phi \dots 2.2\sigma$ のずれ (CDF, DO)

決め手となるほどのズレは残念ながらない
しかし我々人類は LHC という強力なツールを持っている

現在ズレが見えている可能性
● $\sin 2\phi_1$ の標準模型と実験で測られたものとのズレ。

- $B_K, \varepsilon_K, \xi_s, \Delta m_s / \Delta m_d, |V_{cb}|$ (from lattice) $\rightarrow 0.87 \pm 0.09$
- $B_K, \varepsilon_K, \xi_s, \Delta m_s / \Delta m_d, |V_{ub}| / |V_{cb}|, |V_{cb}| \rightarrow 0.78 \pm 0.04$
- $B \rightarrow J/\Psi K_s \rightarrow 0.681 \pm 0.025$
- Clean Penguin modes $\rightarrow 0.58 \pm 0.06$

● $K^+\pi^-$ と $K^+\pi^0$ モードの Direct CP

- $ACP(K^+\pi^-) - ACP(K^+\pi^0) = 14.4 \pm 2.9\%$
- $B_s \rightarrow J/\Psi \Phi \dots 2.2\sigma$ のずれ (CDF, DO)

決め手となるほどのズレは残念ながらない

しかし我々人類は LHC という強力なツールを持っている

標準模型を超える物理の直接的な早期発見が期待

現在ズレが見えている可能性
● $\sin 2\varphi_1$ の標準模型と実験で測られたものとのズレ。

- $B_K, \varepsilon_K, \xi_s, \Delta m_s / \Delta m_d, |V_{cb}|$ (from lattice) $\rightarrow 0.87 \pm 0.09$
- $B_K, \varepsilon_K, \xi_s, \Delta m_s / \Delta m_d, |V_{ub}| / |V_{cb}|, |V_{cb}| \rightarrow 0.78 \pm 0.04$
- $B \rightarrow J/\Psi K_s \rightarrow 0.681 \pm 0.025$
- Clean Penguin modes $\rightarrow 0.58 \pm 0.06$

● $K^+\pi^-$ と $K^+\pi^0$ モードの Direct CP

- $ACP(K^+\pi^-) - ACP(K^+\pi^0) = 14.4 \pm 2.9\%$
- $B_s \rightarrow J/\Psi \Phi \dots 2.2\sigma$ のずれ (CDF, DO)

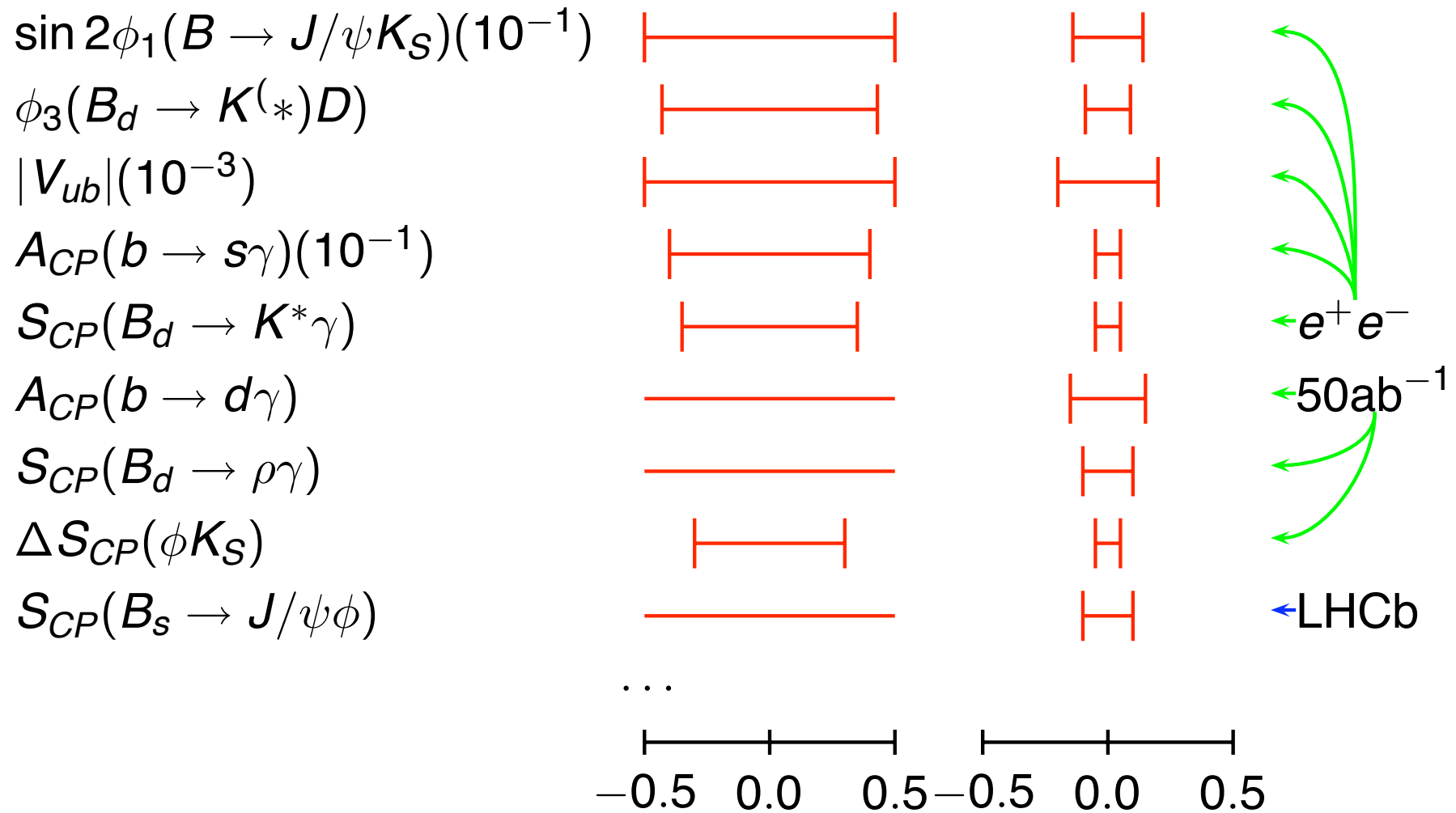
決め手となるほどのズレは残念ながらない

しかし我々人類は LHC という強力なツールを持っている

標準模型を超える物理の直接的な早期発見が期待

新粒子が発見されると、微妙なズレに対する見方が変わる

現在と将来のSensitivity



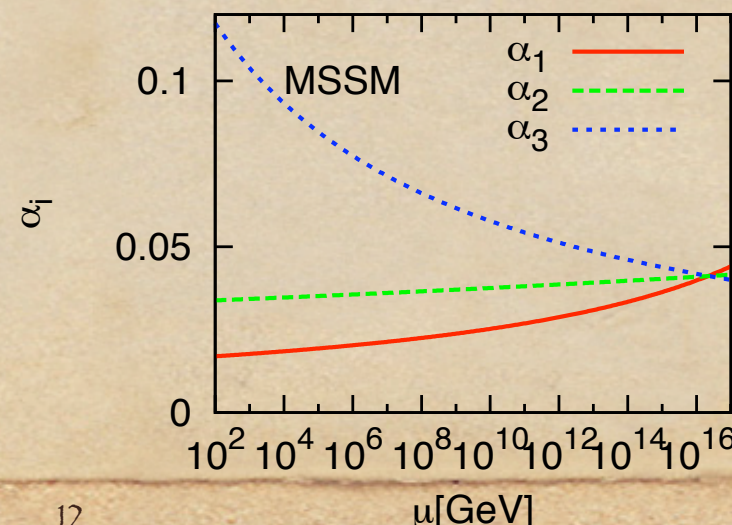
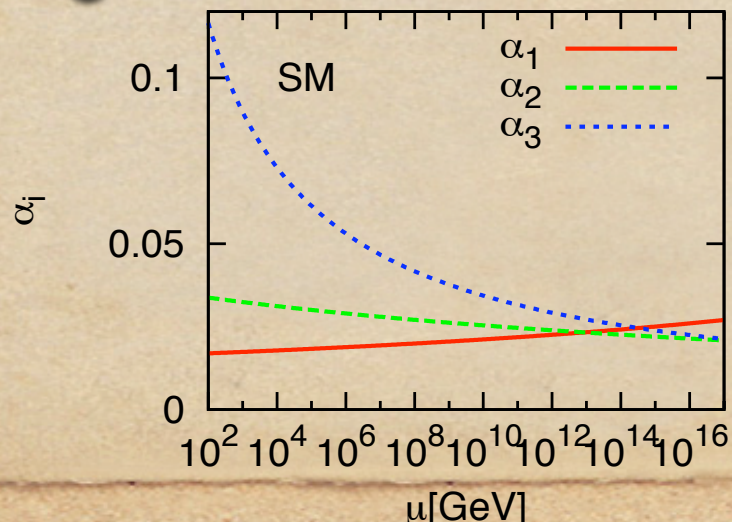
4世代模型

- 非常に単純な標準模型の拡張 see e.g. A. Soni et al, arXiv:0807.1971
- 第4世代のクォーク(t' , b')を導入 →
 - CKM行列は 4×4
 - 6個の回転角と3個のCP位相が存在
 - $m_{t'} \approx 400\text{--}600\text{GeV}$
- 特徴
 - $B_s - \bar{B}_s, b \rightarrow s$ の CP へは t' が支配的 (t の寄与が落ちる)
 - $B_d - \bar{B}_d, b \rightarrow d$ では t が支配的 (V_{td} の位相)
 - 電弱ペンギンの寄与が decouple しない!!
ループ関数: $C_0 = \frac{x}{8} \left[\frac{x-6}{x-1} + \frac{3x+2}{(x-1)^2} \ln x \right] \quad x = m_{t'}/m_W$
- $B \rightarrow K l^+ l^-$, $K \bar{v} v$ 等に大きな寄与が期待

超対称性模型

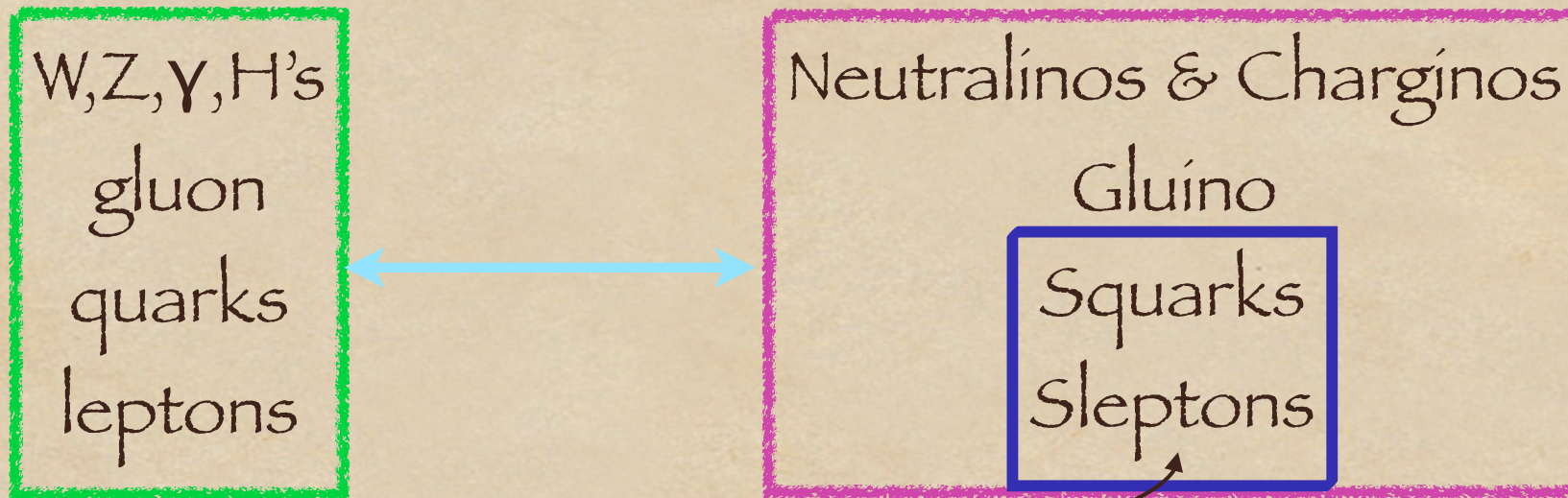
超対称性模型は、標準模型を超える物理の非常に魅力的な候補の一つである。

- Fine Tuning問題の解になる可能性がある
- 軽いHiggsが予言される (<120GeV)
- Dark Matterの候補が理論に含まれている
- 大統一理論と相性がよい



超対称性模型とフレイバー物理

標準模型の粒子に超対称性粒子がパートナーとして存在

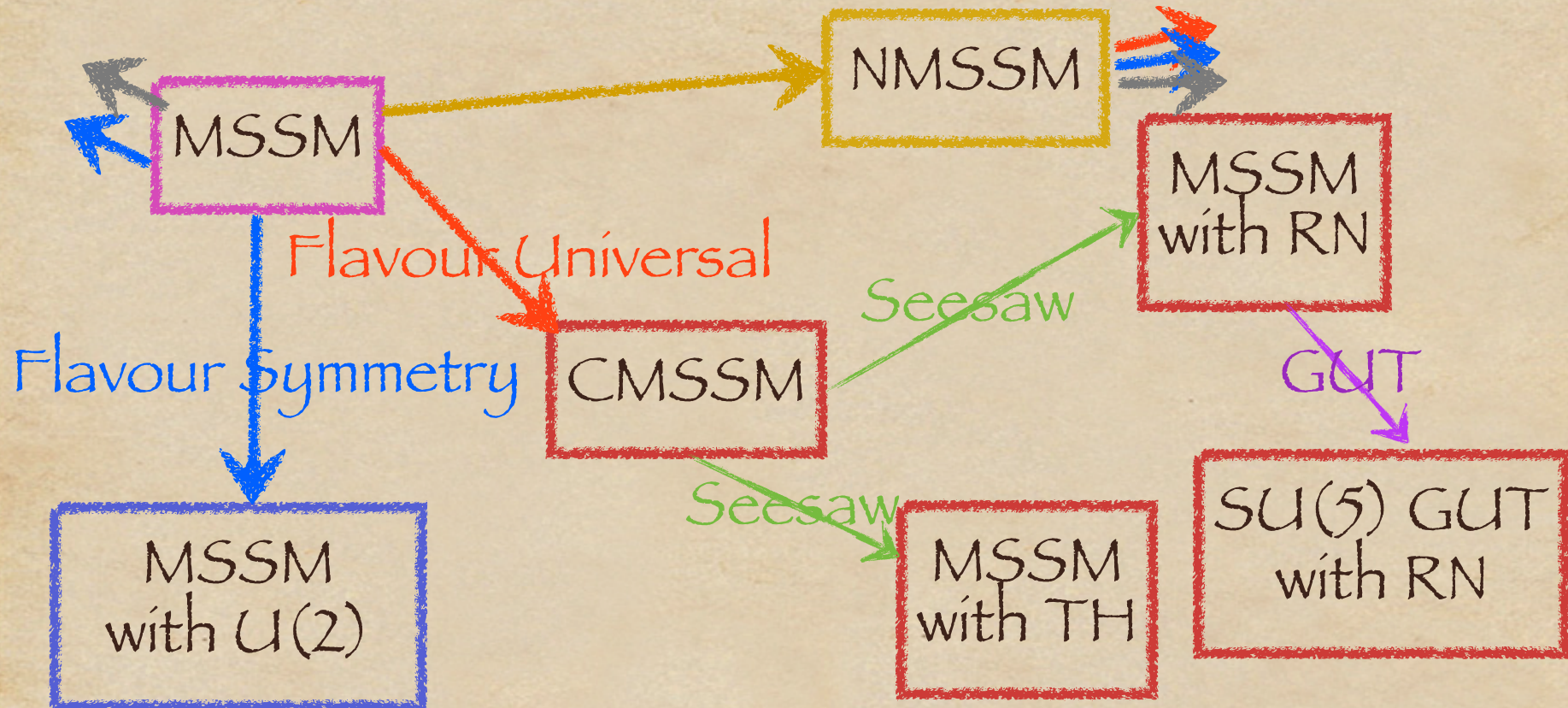


超対称性の破れの構造(Universal, FS, etc)

途中のスケールの物理,GUT,Seesaw, etc)

TeVスケールでのフレイバー構造

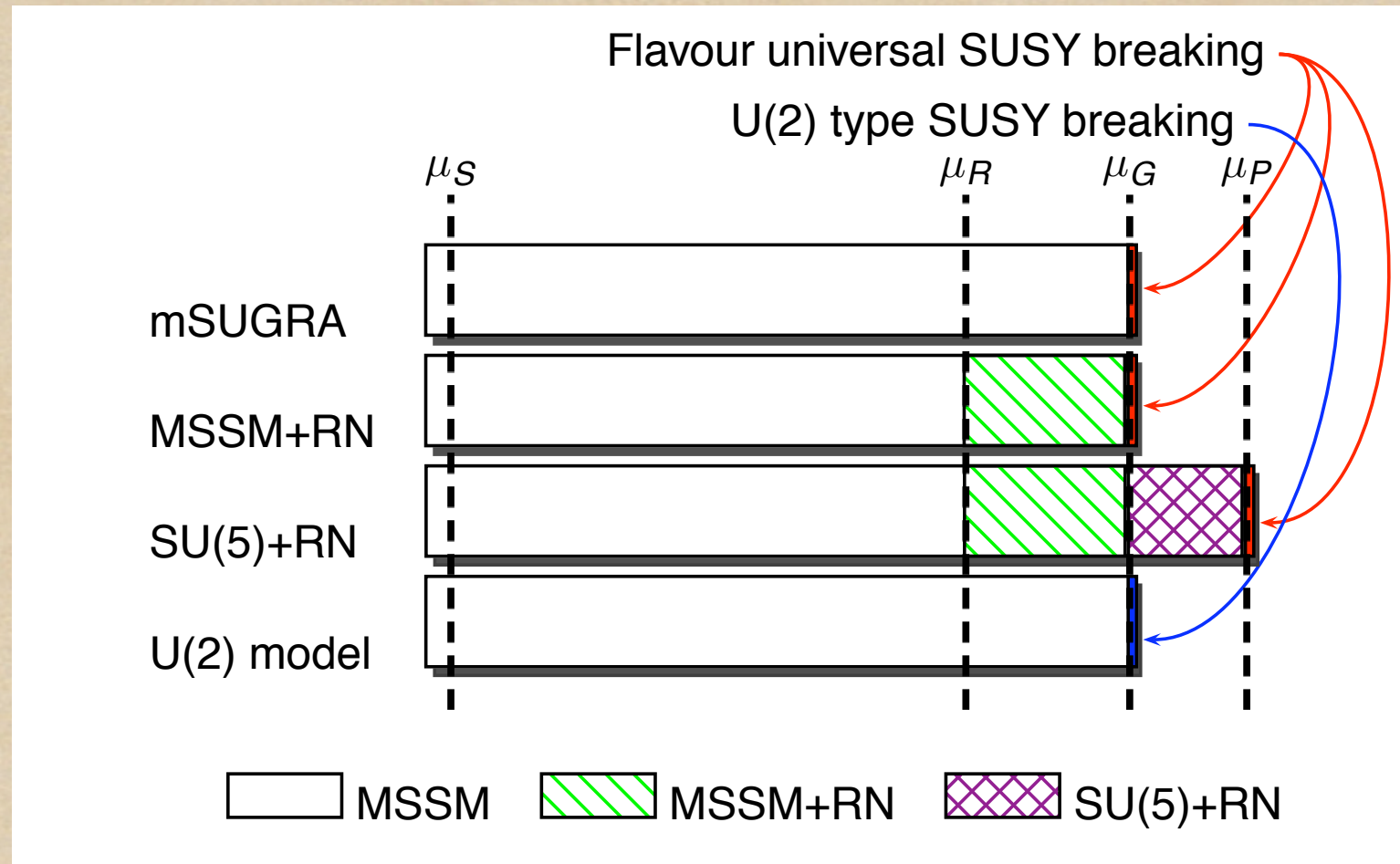
色々な超対称性フレイバー模型の例



MSSMはパラメータの数が非常に多いが
その領域の多くはすでに死んでいる

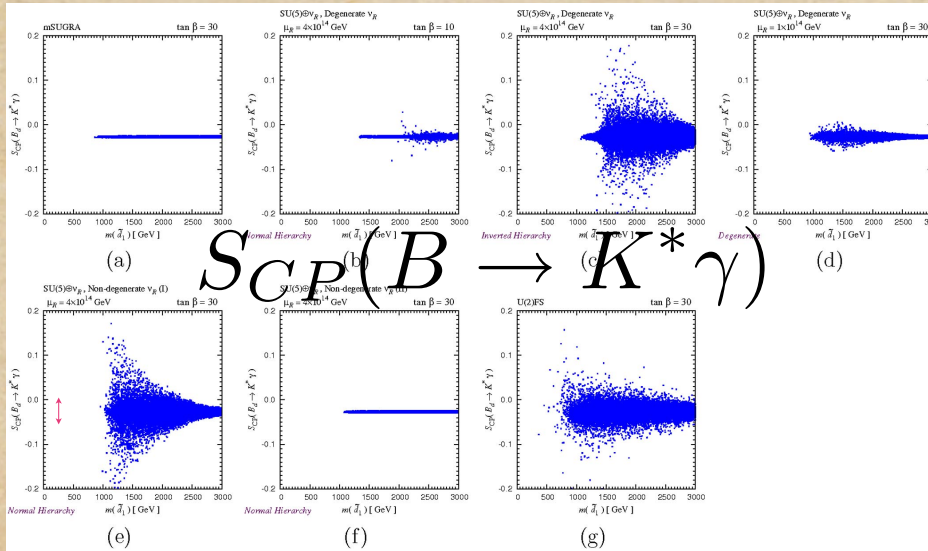
フレイバー構造を制限する理論等が存在すると期待

境界条件と途中のスケールの例



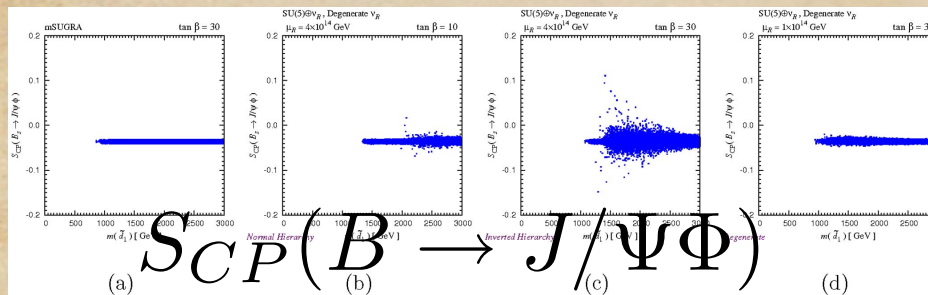
模型によって、フレイバーシグナルに色々な
パターンが生じ得る

シグナルパターンの例



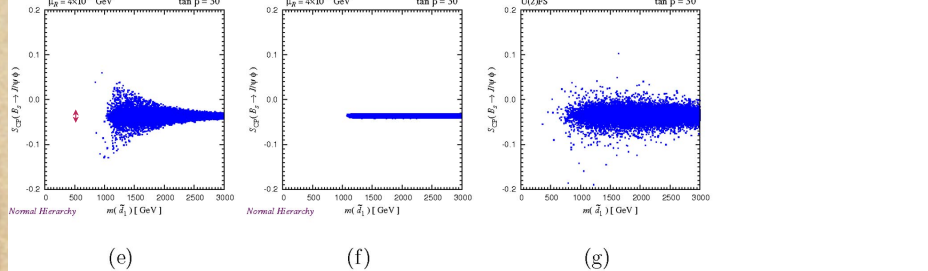
$S_{CP}(B \rightarrow K^* \gamma)$

(a) (b) (c) (d)

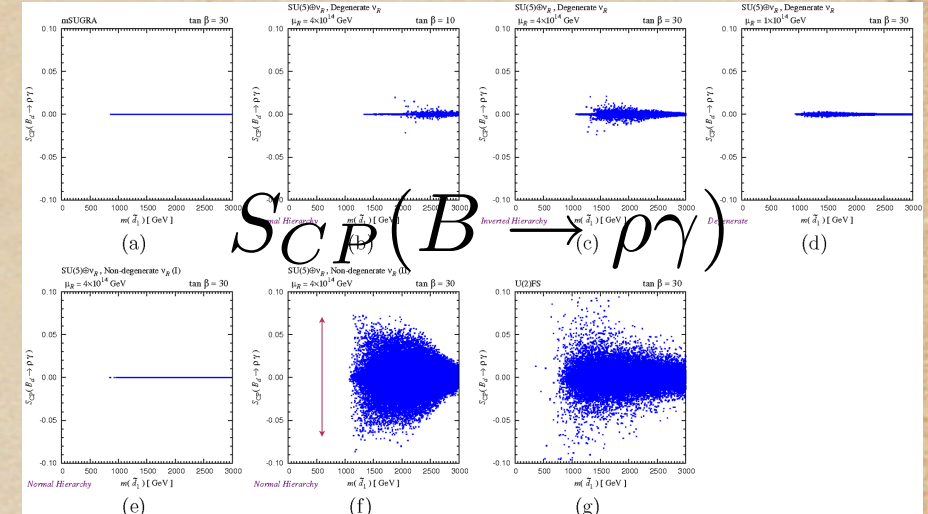


$SCP(B \rightarrow J/\Psi \Phi)$

(a) (b) (c) (d)



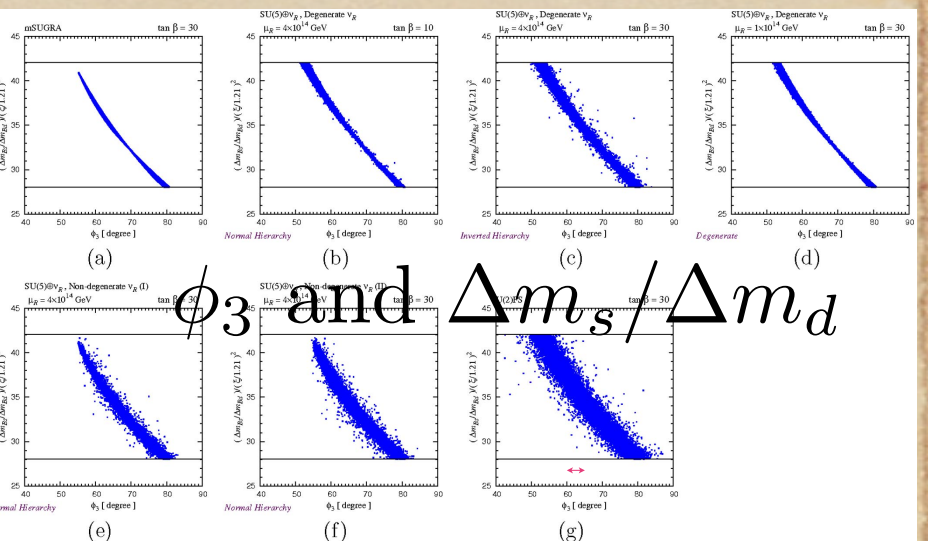
(a) (b) (c) (d)
(e) (f) (g)



$SCP(B \rightarrow \rho \gamma)$

(a) (b) (c) (d)

(e) (f) (g)



ϕ_3 and $\Delta m_s / \Delta m_d$

T.Goto, Y. Okada, T.S. and M. Tanaka, PRD77, 095010

標準模型からのズレのパターン (I)

	$A_{CP}(s\gamma)S_{CP}(K^*\gamma)$	$A_{CP}(d\gamma)S_{CP}(\rho\gamma)$		
mSUGRA	-	-	-	-
$SU(5)$ RN deg	-	+	-	+
$SU(5)$ RN non-deg (I)	-	++	-	-
$SU(5)$ RN non-deg (II)	-	-	-	++
U(2) FS	++	++	-	++

+: possible deviation

++: possible large deviation

標準模型からのズレのパターン (II)

	$\Delta S_{CP}(\phi K_S)$	$S_{CP}(J/\Psi\Phi)$	$\Delta\phi_3$
mSUGRA	-	-	-
$SU(5)$ RN deg	+	+	-
$SU(5)$ RN non-deg (I)	++	++	+
$SU(5)$ RN non-deg (II)	-	-	+
U(2) FS	++	++	+

+: possible deviation

++: possible large deviation

まとめ—CPの破れをテコにして 何故CPやフレイバーの物理に注目するか?

● 歴史的Lesson

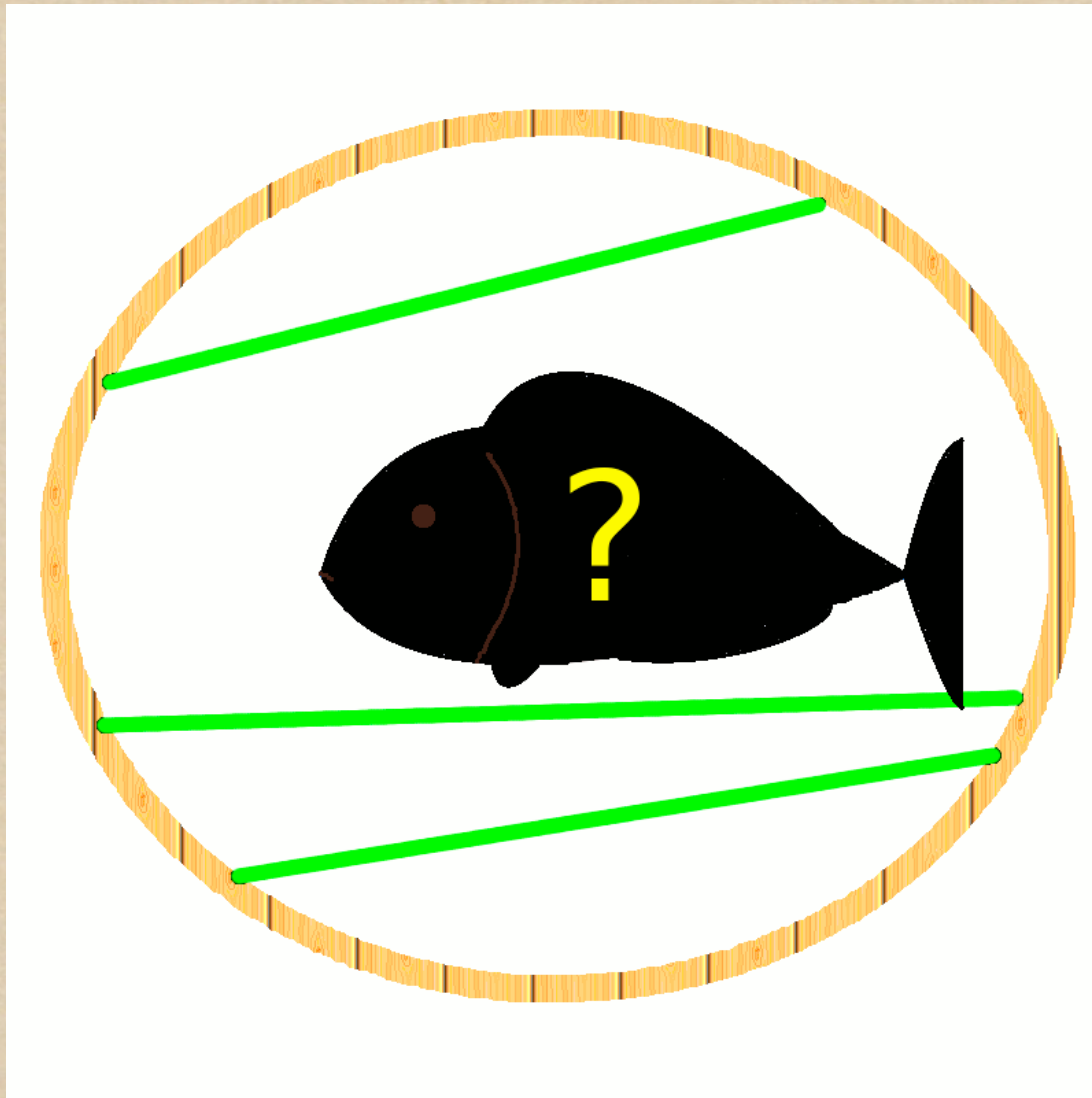
- BやKシステムでのCPの破れは、実はCKM行列の1つの位相が起源だった → 互いに相関
- 低エネルギー・スケールの知識から、より基本的な理論の情報が引き出せた(3世代目の存在)
- 標準模型を超える物理が直接発見されると期待
 - さらにCP位相やフレイバーを詳しく調べる
 - より高エネルギー・スケールでの物理の片鱗が垣間見えるかもしれない

まとめ – NP fishをつかまえる

まとめ – NP fishをつかまえる

現在

まとめ – NP fishをつかまえる



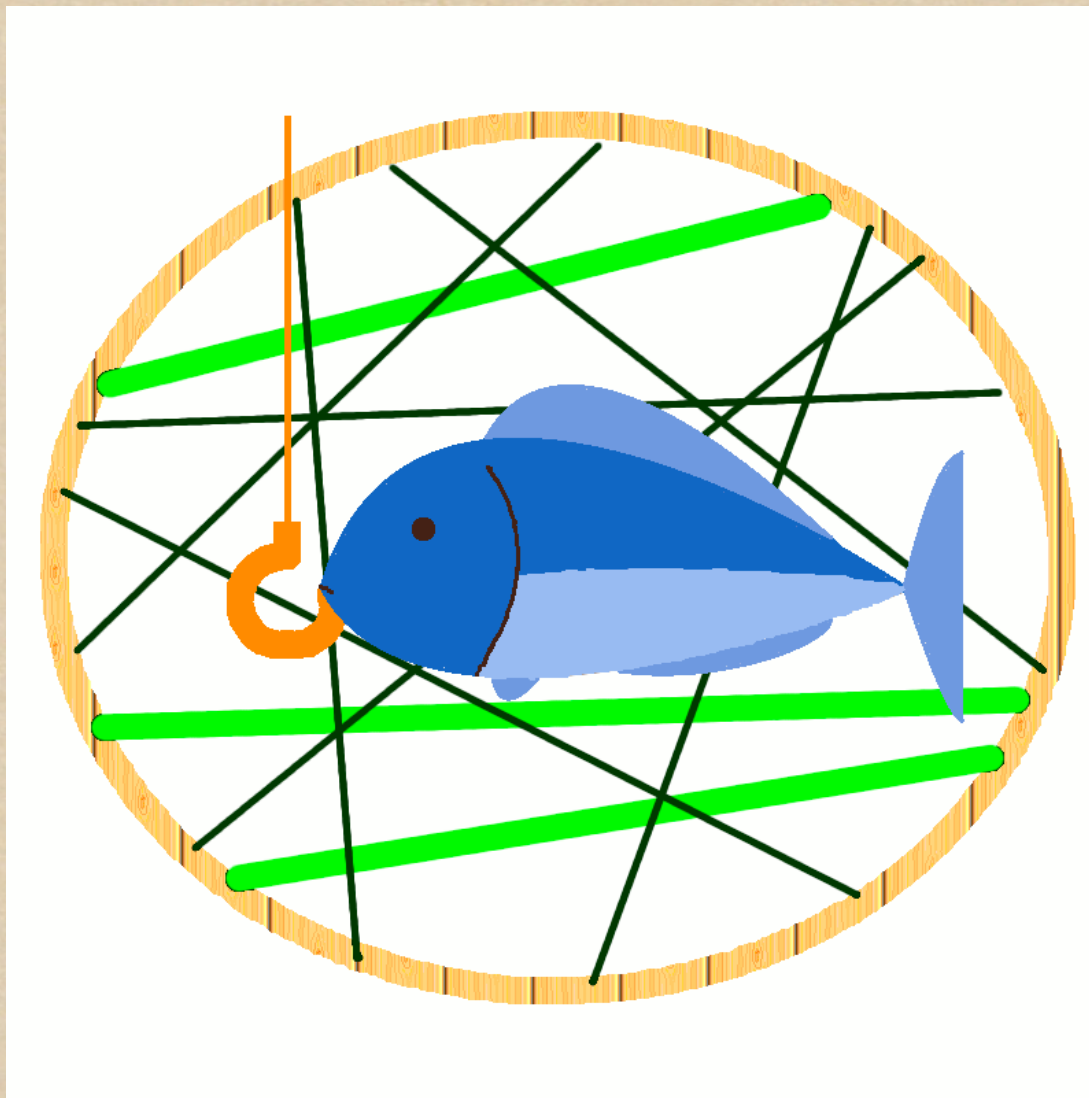
現在

まとめ – NP fishをつかまえる

まとめ – NP fishをつかまえる

将来

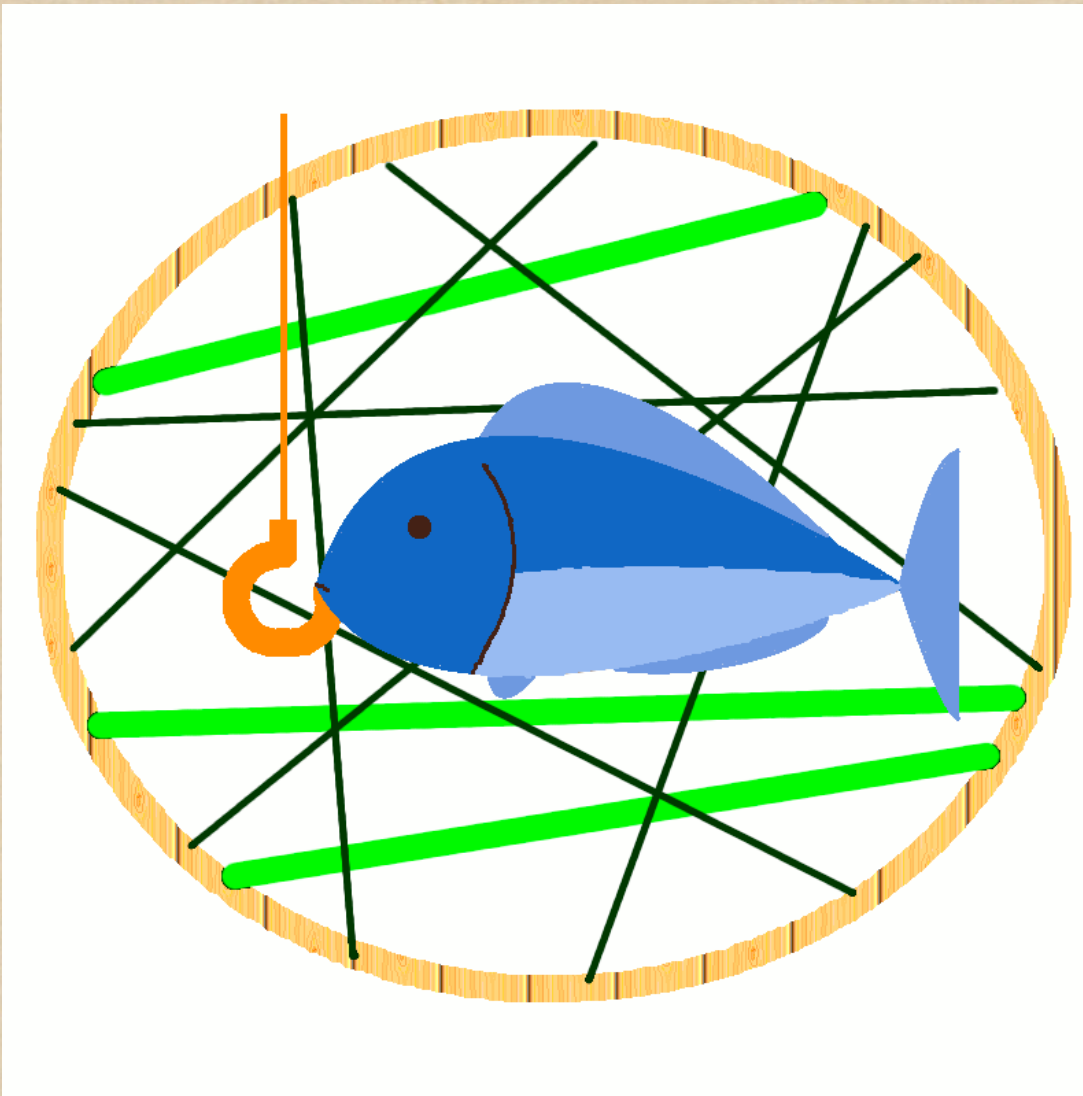
まとめ – NP fishをつかまえる



将来

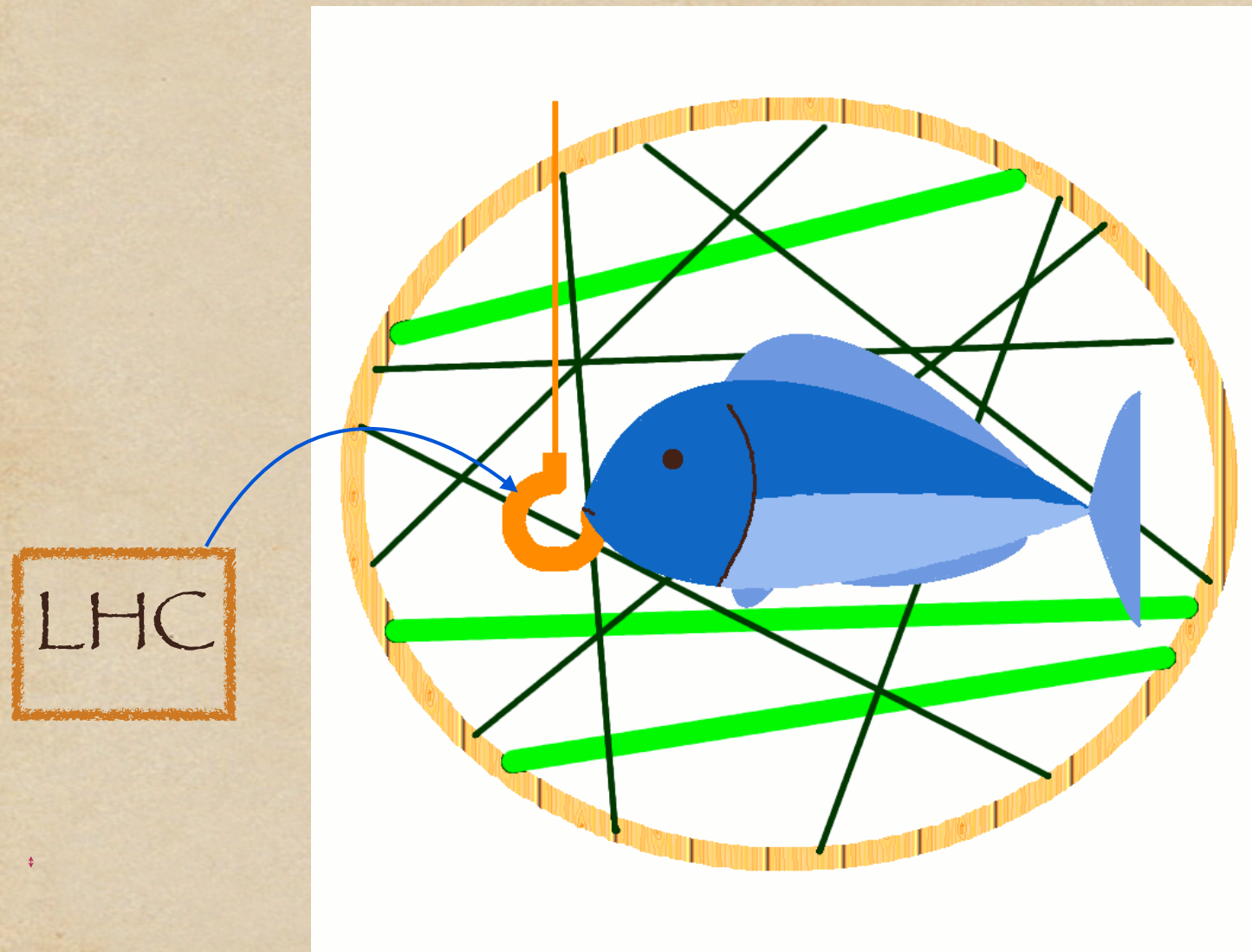
まとめ – NP fishをつかまえる

LHC



将来

まとめ – NP fishをつかまえる



将来